



Microtecnología y
Sistemas Embebidos

Instituto Politécnico Nacional

Centro de Investigación en Computación

Lenguajes de descripción de hardware

Práctica 4 - Latches y flip-flops

PROFESOR:

M. EN C. OSVALDO ESPINOSA SOSA

POR:

ING. RICARDO ALDAIR TIRADO TORRES

CIUDAD DE MÉXICO, 28 DE MAYO DE 2024

Tabla de contenido

1. Objetivos	2
2. Latch RS	3
3. Latch D	6
4. Flip-Flop D	9
5. Latch D vs Flip-Flop D	13
6. Conclusiones	20
7. Anexos	21
7.1. Descripciones del hardware	21
7.2. Bancos de pruebas (<i>Test Benches</i>)	23

1. Objetivos

- Comprender la operación de la directiva *keep* para mantener a las señales internas de un módulo y observar la implementación de estas señales con el visor RTL y el *Technology Map Viewer*.
- Describir por flujo de datos de bajo nivel al latch tipo RS y al tipo D.
- Utilizar la descripción estructural para instanciar módulos que contengan la directiva *keep*.
- Diferenciar la implementación de un latch D y un flip-flop D en el FPGA, desde el visor de *Chip Planner*.

2. Latch RS

Actividad 1

Compilar el código del latch RS dos veces: con y sin la directiva (*“keep”*). Utilizar en ambos casos los visores *RTLViewer* y *Technology Map Viewer* estableciendo diferencias. Simular ambos casos sin retardos y con retardos (modelo lento a 85°C).

La visualización RTL del latch RS, implementado con la directiva *keep*, se muestra en la Figura 1 y sin esta directiva en la Figura 2. Los módulos se diferencian en que el circuito con *keep* conserva más compuertas lógicas que el que no usa la directiva, además de mantener intactas a las señales internas.

La visualización con el *Technology Map Viewer* del latch RS, implementado con la directiva *keep*, se muestra en la Figura 3 y sin esta directiva en la Figura 4. Los módulos se diferencian en que el circuito con *keep* implementa una celda lógica por cada señal interna declarada en el código, mientras que el circuito sin *keep* emplea una sola celda lógica para todo el circuito.

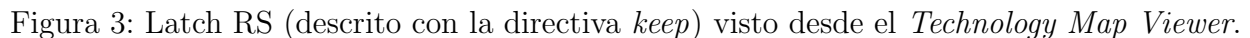
Las simulaciones sin retardos se visualizan en la Figura 5 para el latch con directiva (*keep*) y en la Figura 6 para el latch sin directiva. Ambos circuitos funcionan de la misma manera, de tal forma que:

- Si $S = 0$ y $R = 0$: La salida mantiene el último estado adquirido.
- Si $S = 1$ y $R = 0$: La salida adquiere un valor alto.
- Si $S = 0$ y $R = 1$: La salida es restablecida a un nivel bajo.
- Si $S = 1$ y $R = 1$: Estado prohibido, no se implementó en la simulación

Nótese que los cambios en la salida ocurren únicamente cuando CLK cambia a un nivel lógico alto.

Las simulaciones con retardos (modo lento a 85°C) se visualizan en la Figura 7 para el latch con directiva *keep* y en la Figura 8 para el latch sin directiva. Se observa que, debido a que

En los Anexos se localiza la descripción del latch RS. Además de declarar a las entradas y salidas, se describieron a Ri, Si, Qa y Qb como señales internas y por medio de la descripción de flujo de datos de bajo nivel, se asignaron los valores de estas señales y de la salida Q. Cabe resaltar que la diferencia entre los circuitos simulados en este apartado, es la directiva *synthesis keep*, en la declaración de las señales internas.



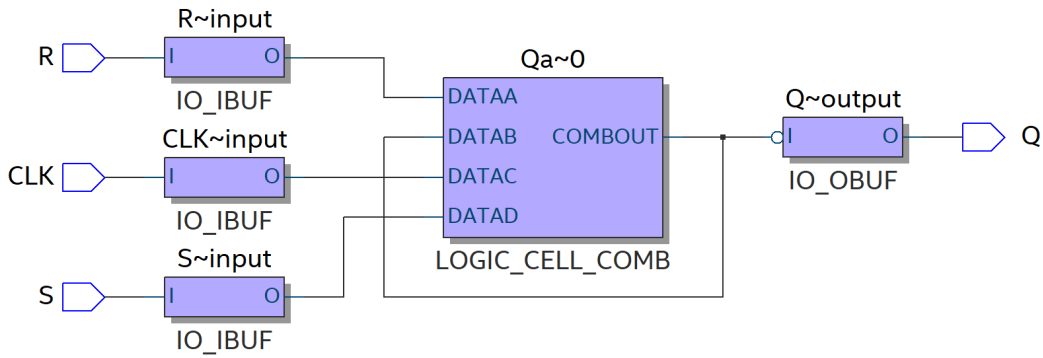


Figura 4: Latch RS (descrito sin la directiva *keep*) visto desde el *Technology Map Viewer*.



Figura 5: Simulación sin retardos del latch RS (descrito con la directiva *keep*) en el visor de formas de onda de ModelSim.

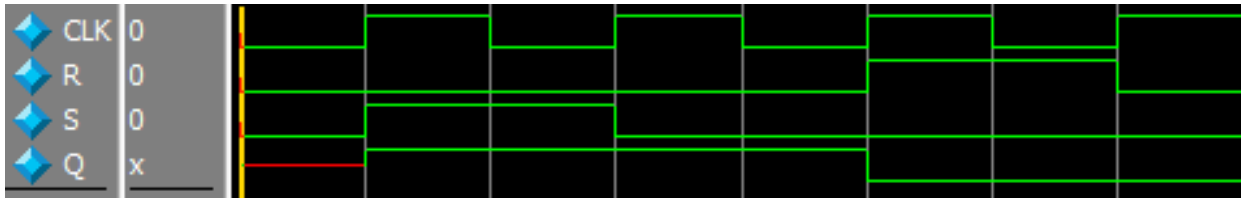


Figura 6: Simulación sin retardos del latch RS (descrito sin la directiva *keep*) en el visor de formas de onda de ModelSim.

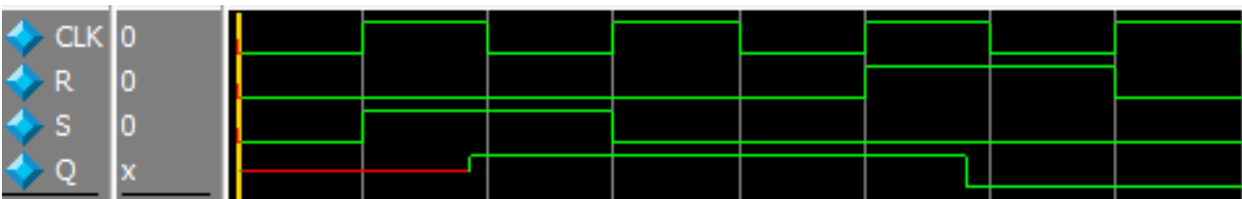


Figura 7: Simulación con retardos del latch RS (descrito con la directiva *keep*) en el visor de formas de onda de ModelSim.

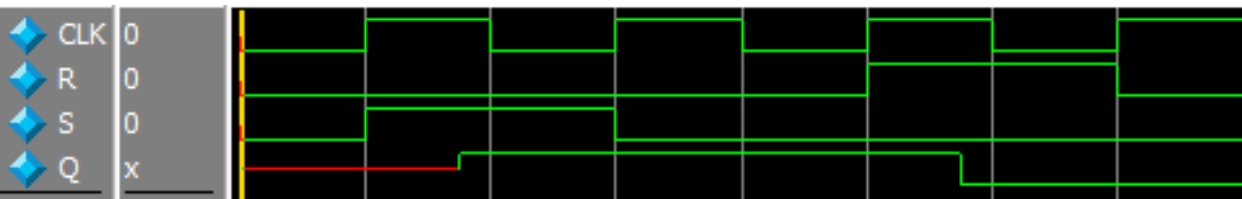
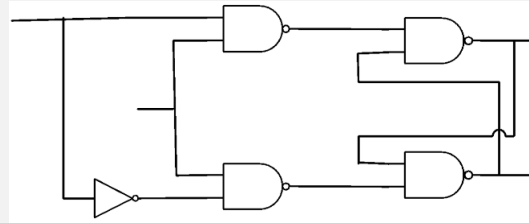


Figura 8: Simulación sin retardos del latch RS (descrito sin la directiva *keep*) en el visor de formas de onda de ModelSim.

3. Latch D

Actividad 2

El circuito para un latch D es el siguiente:



Repetir los pasos del inciso 1.

La visualización RTL del latch D, implementado con la directiva *keep*, se muestra en la Figura 9 y sin esta directiva en la Figura 10. Los módulos se diferencian en que el circuito con *keep* conserva más compuertas lógicas que el que no usa la directiva, además de mantener intactas a las señales internas.

La visualización con el *Technology Map Viewer* del latch D, implementado con la directiva *keep*, se muestra en la Figura 11 y sin esta directiva en la Figura 12. Los módulos se diferencian en que el circuito con *keep* implementa una celda lógica por cada señal interna declarada en el código, mientras que el circuito sin *keep* emplea una sola celda lógica para todo el circuito.

Las simulaciones sin retardos se visualizan en la Figura 13 para el latch con directiva *keep* y en la Figura 14 para el latch sin directiva. Ambos circuitos funcionan de la misma manera, de tal forma que:

- Si $D = 0$: La salida adquiere un valor bajo.
- Si $D = 1$: La salida adquiere un valor alto.

Nótese que los cambios en la salida ocurren únicamente cuando CLK cambia a un nivel lógico alto.

Las simulaciones con retardos (modo lento a 85°C) se visualizan en la Figura 15 para el latch con directiva *keep* y en la Figura 16 para el latch sin directiva. Se observa que, debido a que se simuló en el peor de los escenarios, la señal de salida Q, tarda en actualizar su valor en

ambas simulaciones, no obstante, para el caso del circuito con *keep*, el retardo es ligeramente mayor en comparación con el circuito sin *keep*.

En los Anexos se localiza la descripción del latch RS. Además de declarar a las entradas y salidas, se describieron a NAND1, NAND2, NAND3 y NAND4 como señales internas y por medio de la descripción de flujo de datos de bajo nivel, se asignaron los valores de estas señales y de la salida Q. Cabe resaltar que la diferencia entre los circuitos simulados en este apartado, es la directiva *synthesis keep*, en la declaración de las señales internas.

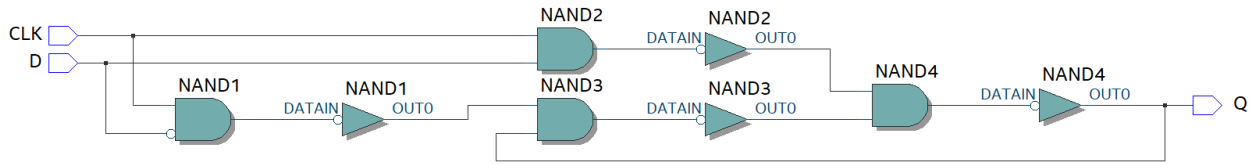


Figura 9: Diagrama RTL del latch D, descrito con la directiva *keep*.

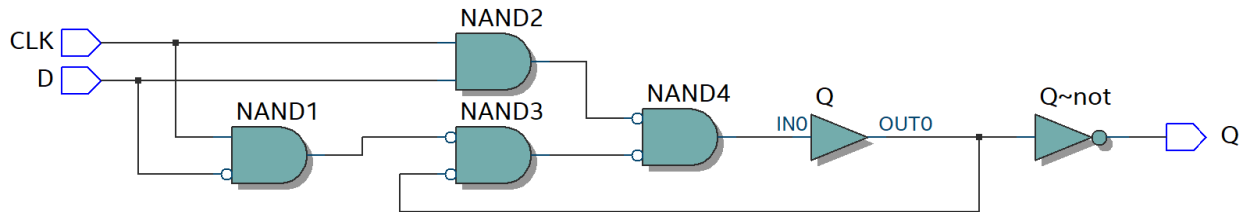


Figura 10: Diagrama RTL del latch D, descrito sin la directiva *keep*.

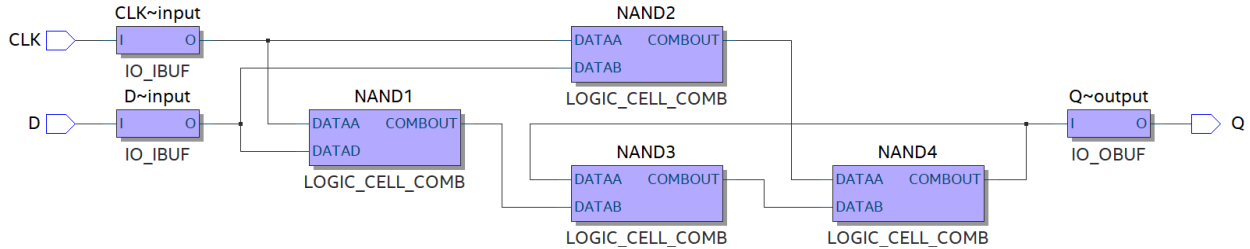


Figura 11: Latch D (descrito sin la directiva *keep*) visto desde el *Technology Map Viewer*.

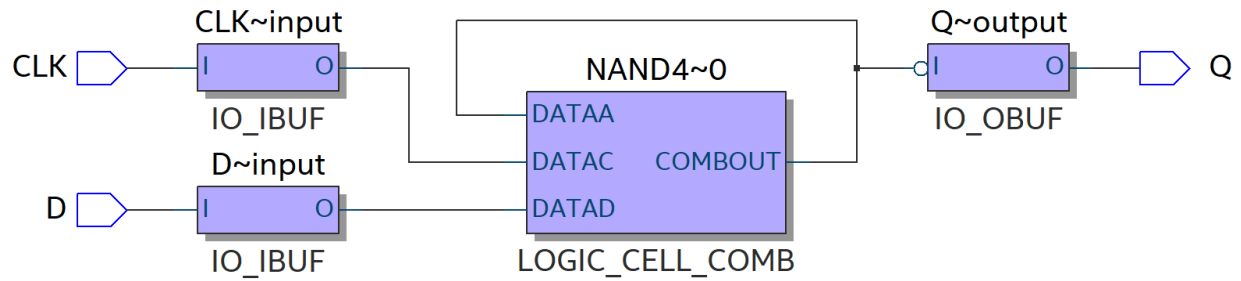


Figura 12: Latch D (descrito sin la directiva *keep*) visto desde el *Technology Map Viewer*.



Figura 13: Simulación sin retardos del latch D (descrito con la directiva *keep*) en el visor de formas de onda de ModelSim.



Figura 14: Simulación sin retardos del latch D (descrito sin la directiva *keep*) en el visor de formas de onda de ModelSim.



Figura 15: Simulación con retardos del latch D (descrito con la directiva *keep*) en el visor de formas de onda de ModelSim.

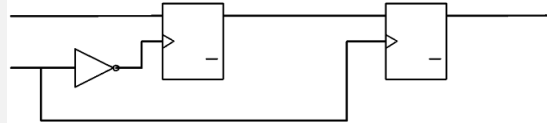


Figura 16: Simulación sin retardos del latch D (descrito sin la directiva *keep*) en el visor de formas de onda de ModelSim.

4. Flip-Flop D

Actividad 3

Un flip-flop D puede construirse a partir de dos latch tipo D en cascada (configuración MASTER-SLAVE) de acuerdo al siguiente diagrama:



Usar dos instancias del latch D del inciso 2. Repetir los pasos del inciso 1.

La visualización RTL del flip-flop D, implementado con la directiva *keep*, se muestra en la Figura 17 y sin esta directiva en la Figura 18. Se observa que dentro de estas instancias se tiene la descripción por flujo de datos de bajo nivel, o sea, la conexión entre compuertas lógicas (Ver Figura 19 y Figura 20). Los módulos se diferencian en que el circuito con *keep* conserva más compuertas lógicas que el que no usa la directiva, además de mantener intactas a las señales internas.

La visualización con el *Technology Map Viewer* del flip-flop D, implementado con la directiva *keep*, se muestra en la Figura 21 y sin esta directiva en la Figura 22. En la Figura 23 y Figura 24, se observa que dentro de las instancias se generan celdas lógicas. Los módulos se diferencian en que el circuito con *keep* implementa una celda lógica por cada señal interna declarada en la instancia, mientras que el circuito sin *keep* emplea una sola celda lógica para todo el circuito instanciado. Nótese que, la señal que conecta un latch D con el otro, también genera una celda lógica para el circuito con *keep*, ya que es una señal interna del módulo.

Las simulaciones sin retardos se visualizan en la Figura 25 para el flip-flop D con directiva *keep* y en la Figura 26 para el flip-flop D sin directiva. Ambos circuitos funcionan de la misma manera, de tal forma que

- Si $D = 0$: La salida adquiere un valor bajo.
- Si $D = 1$: La salida adquiere un valor alto.

Nótese que los cambios en la salida ocurren unicamente cuando CLK tiene un flanco de subida.

Las simulaciones con retardos (modo lento a 85°C) se visualizan en la Figura 27 para el flip-flop D con directiva *keep* y en la Figura 28 para el flip-flop D sin directiva. Se observa que, debido a que se simuló en el peor de los escenarios, la señal de salida Q, tarda en actualizar su valor en ambas simulaciones, no obstante, para el caso del circuito con *keep*, el retardo es ligeramente mayor en comparación con el circuito sin *keep*.

En los Anexos se localiza la descripción del flip-flop D. Tomando como instancia al latch D, declarado en la actividad 2, se realizó la descripción del módulo de forma estructural.

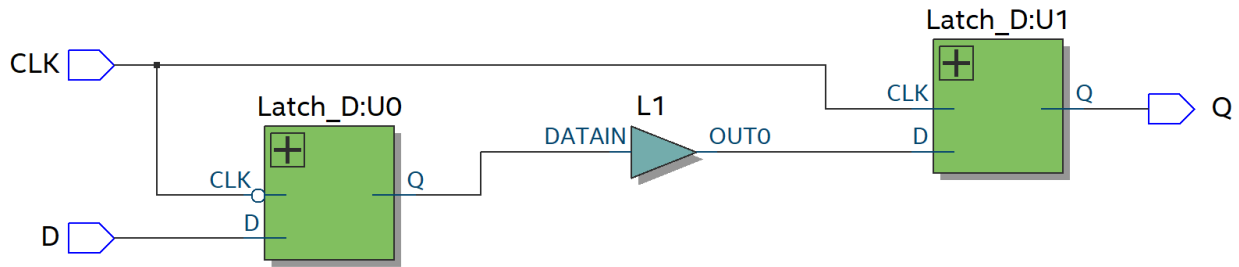


Figura 17: Diagrama RTL del flip-flop D, descrito con la directiva *keep*.

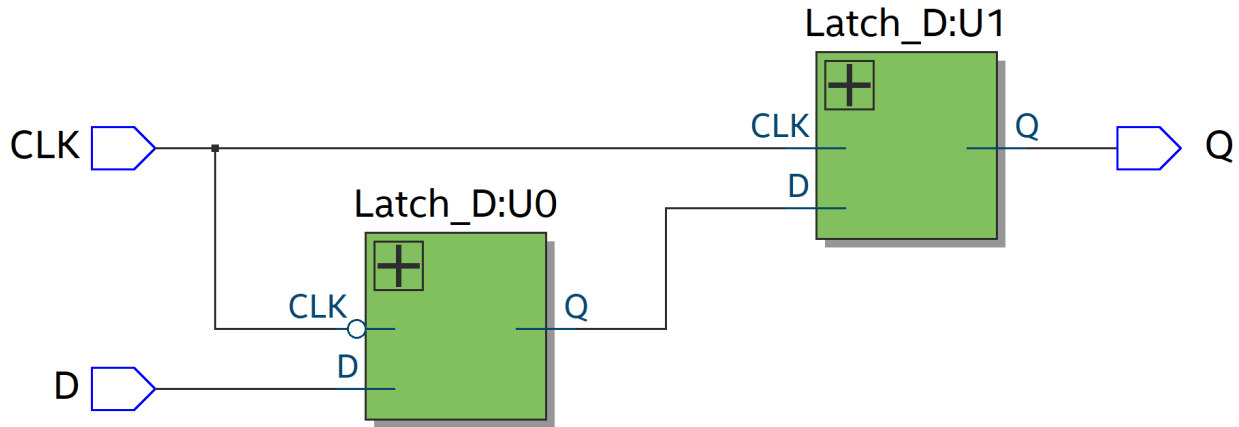


Figura 18: Diagrama RTL del flip-flop D, descrito sin la directiva *keep*.

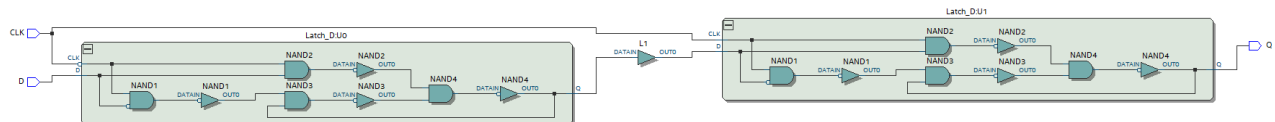


Figura 19: Diagrama RTL del flip-flop D, descrito con la directiva *keep* (acercamiento al interior de la instancia).

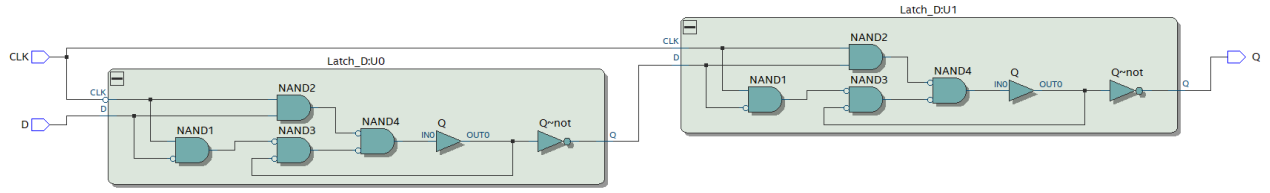


Figura 20: Diagrama RTL del flip-flop D, descrito sin la directiva *keep* (acercamiento al interior de la instancia).

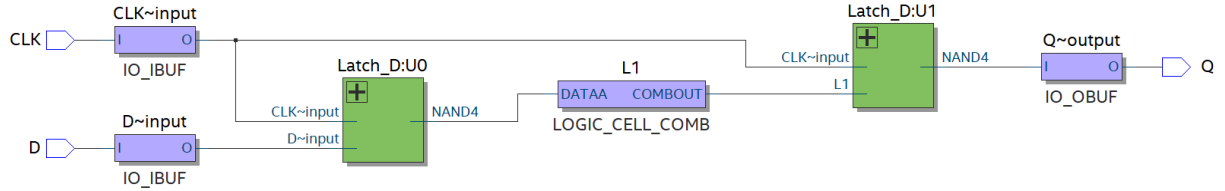


Figura 21: Flip-Flop D (descrito con la directiva *keep*) visto desde el *Technology Map Viewer*.

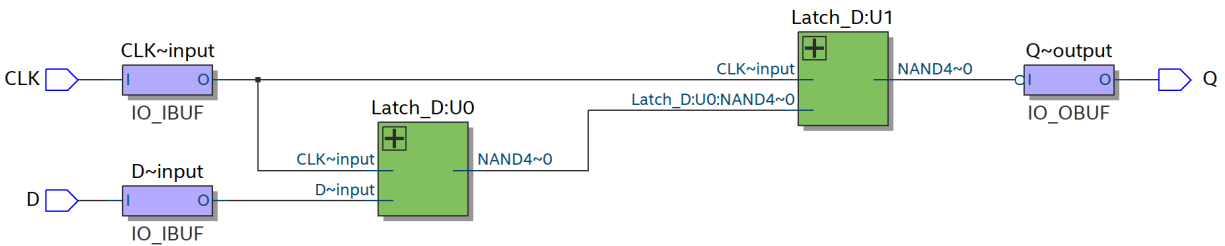


Figura 22: Flip-Flop D (descrito sin la directiva *keep*) visto desde el *Technology Map Viewer*.

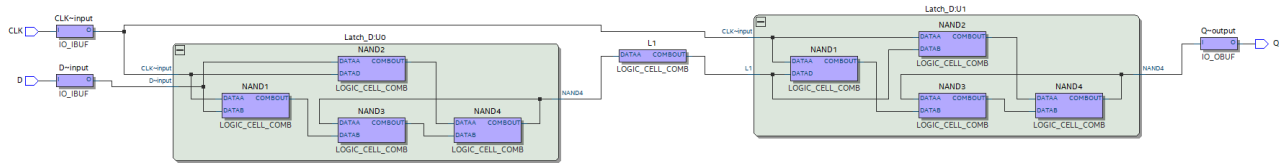


Figura 23: Flip-Flop D (descrito con la directiva *keep*) visto desde el *Technology Map Viewer* (acercamiento al interior de la instancia).

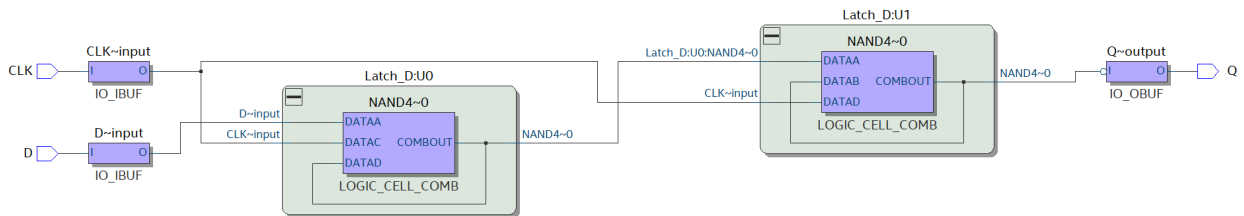


Figura 24: Flip-Flop D (descrito sin la directiva *keep*) visto desde el *Technology Map Viewer* (acercamiento al interior de la instancia).

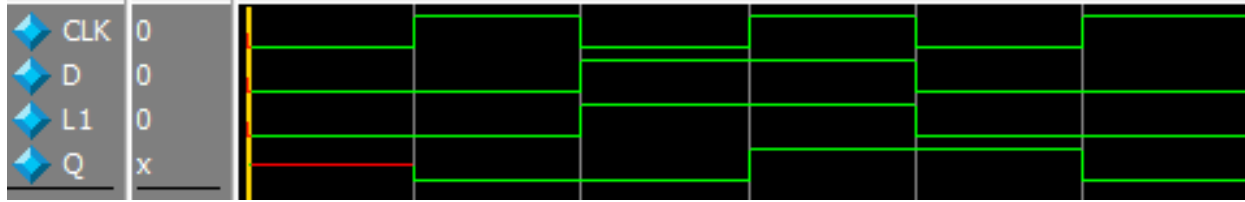


Figura 25: Simulación sin retardos del flip-flop D (descrito con la directiva *keep*) en el visor de formas de onda de ModelSim.

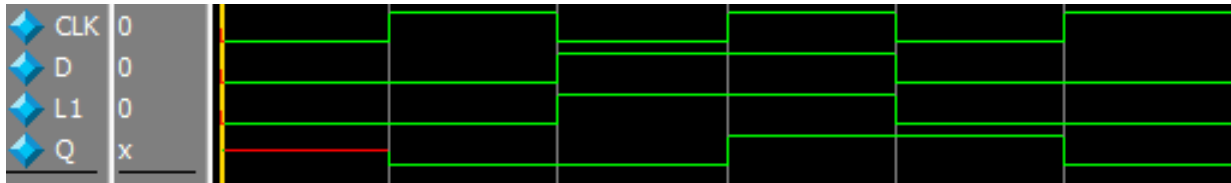


Figura 26: Simulación sin retardos del flip-flop D (descrito sin la directiva *keep*) en el visor de formas de onda de ModelSim.

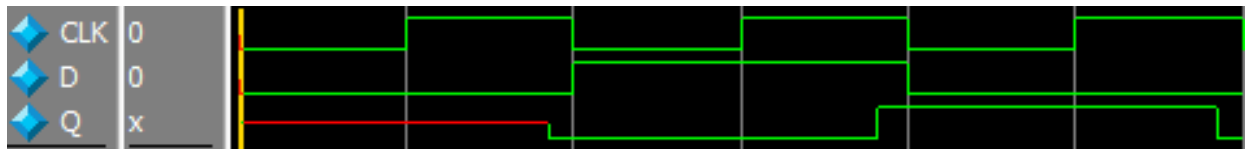


Figura 27: Simulación con retardos del flip-flop D (descrito con la directiva *keep*) en el visor de formas de onda de ModelSim.



Figura 28: Simulación sin retardos del flip-flop D (descrito sin la directiva *keep*) en el visor de formas de onda de ModelSim.

5. Latch D vs Flip-Flop D

Actividad 4

En dos proyectos separados describir por comportamiento un latch D simple y un flip-flop D simple (sólo dos entradas: D y CLK). Compilar y usar el visor que permita observar el elemento lógico donde se implementan el latch y el flip-flop. ¿En qué parte del elemento lógico se implementa el latch y en que parte se implementa el flip-flop?

La visualización RTL, del latch D descrito por comportamiento, se muestra en la Figura 29 y del flip flop D descrito por comportamiento en la Figura 30. Ahora bien, a través del *Chip Planner* se observa que el latch D se implementa en el elemento lógico de la Figura 31 y el flip-flop D en el elemento de la Figura 32 (Ver en la Figura 33 y en la Figura 34 a los elementos acercados). Aunque pareciera que el latch D y el flip-flop D se efectúan de igual forma en un elemento lógico, se observa en la Figura 35 que el latch se implementa en la *Look Up Table* de un elemento lógico, mientras que en la Figura 36 se ve que el flip-flop se implementa de forma directa en el elemento lógico.

Las simulaciones se visualizan en la Figura 37 para el latch D y en la Figura 38 para el flip-flop D. Se visualiza un correcto funcionamiento de ambos módulos, ya que el latch varía a la salida cuando en CLK hay un cambio al nivel lógico alto, mientras que el flip-flop lo hace con un flanco de subida en CLK.

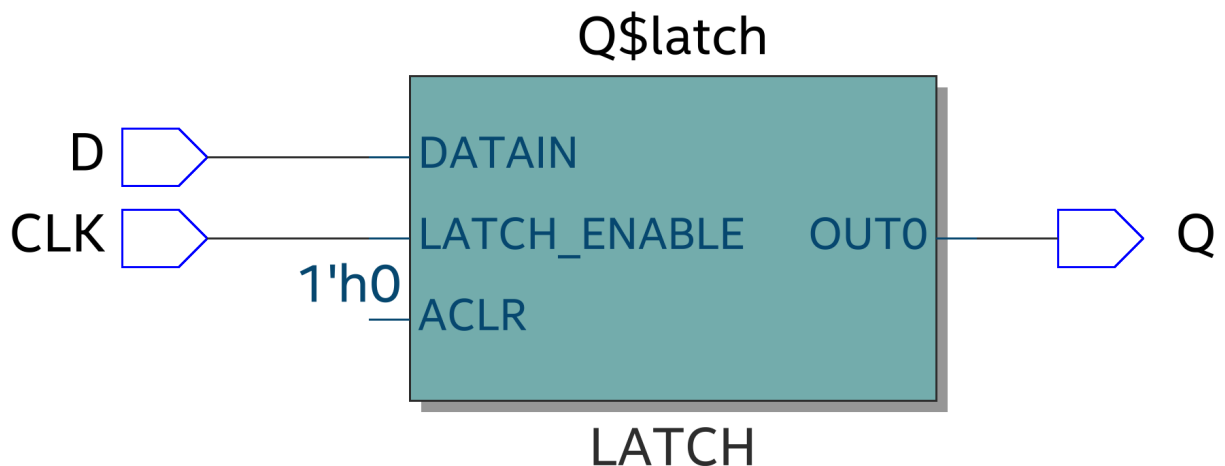


Figura 29: Diagrama RTL del latch D, descrito por comportamiento.

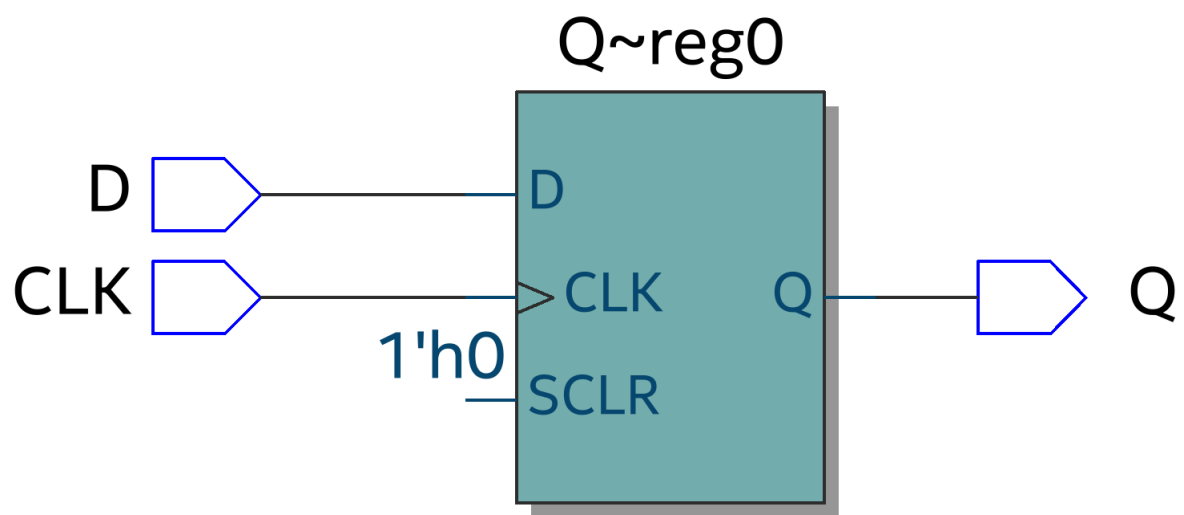


Figura 30: Diagrama RTL del flip-flop D, descrito por comportamiento.

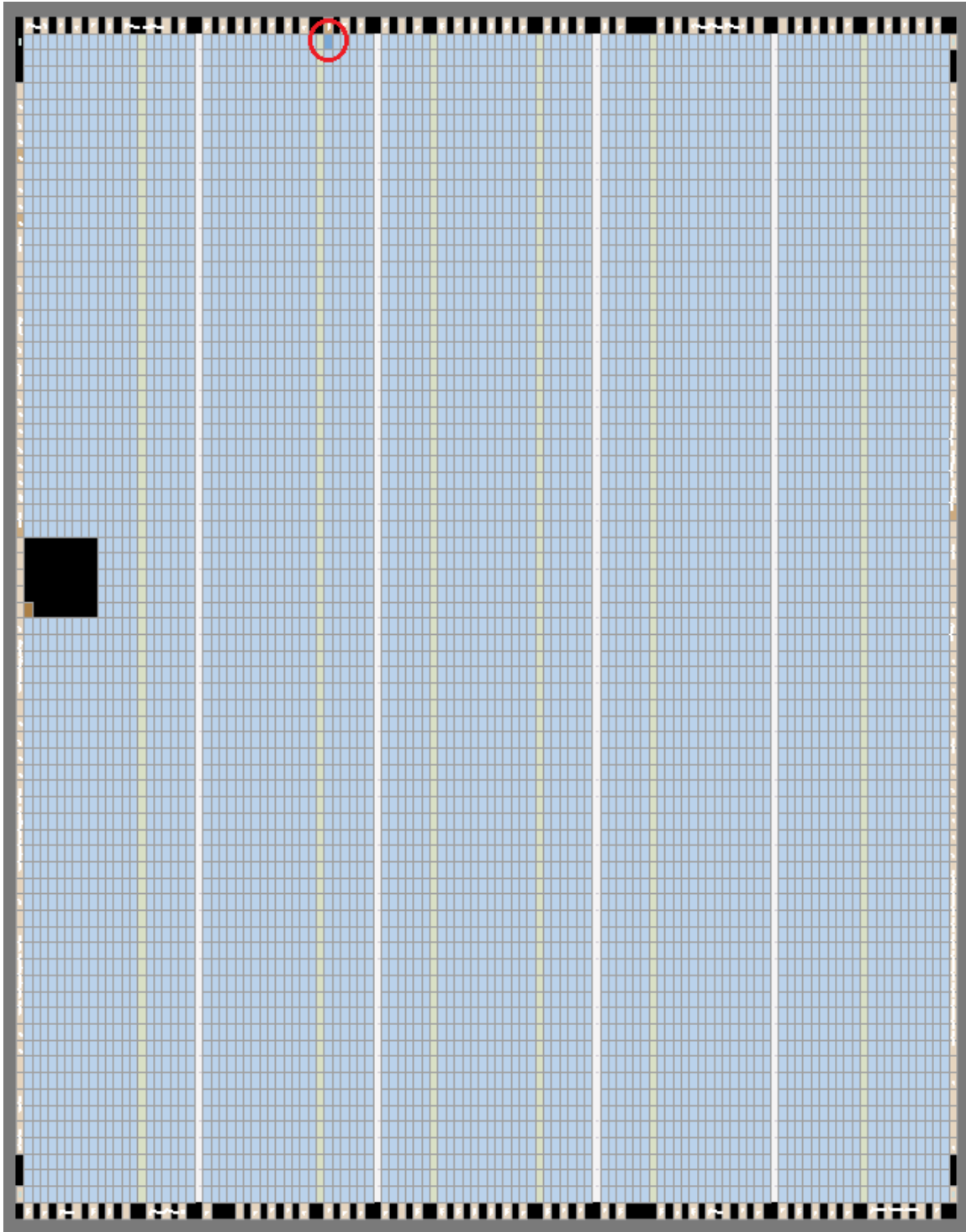


Figura 31: Latch D visto desde el *Chip Planner* (círculo rojo).

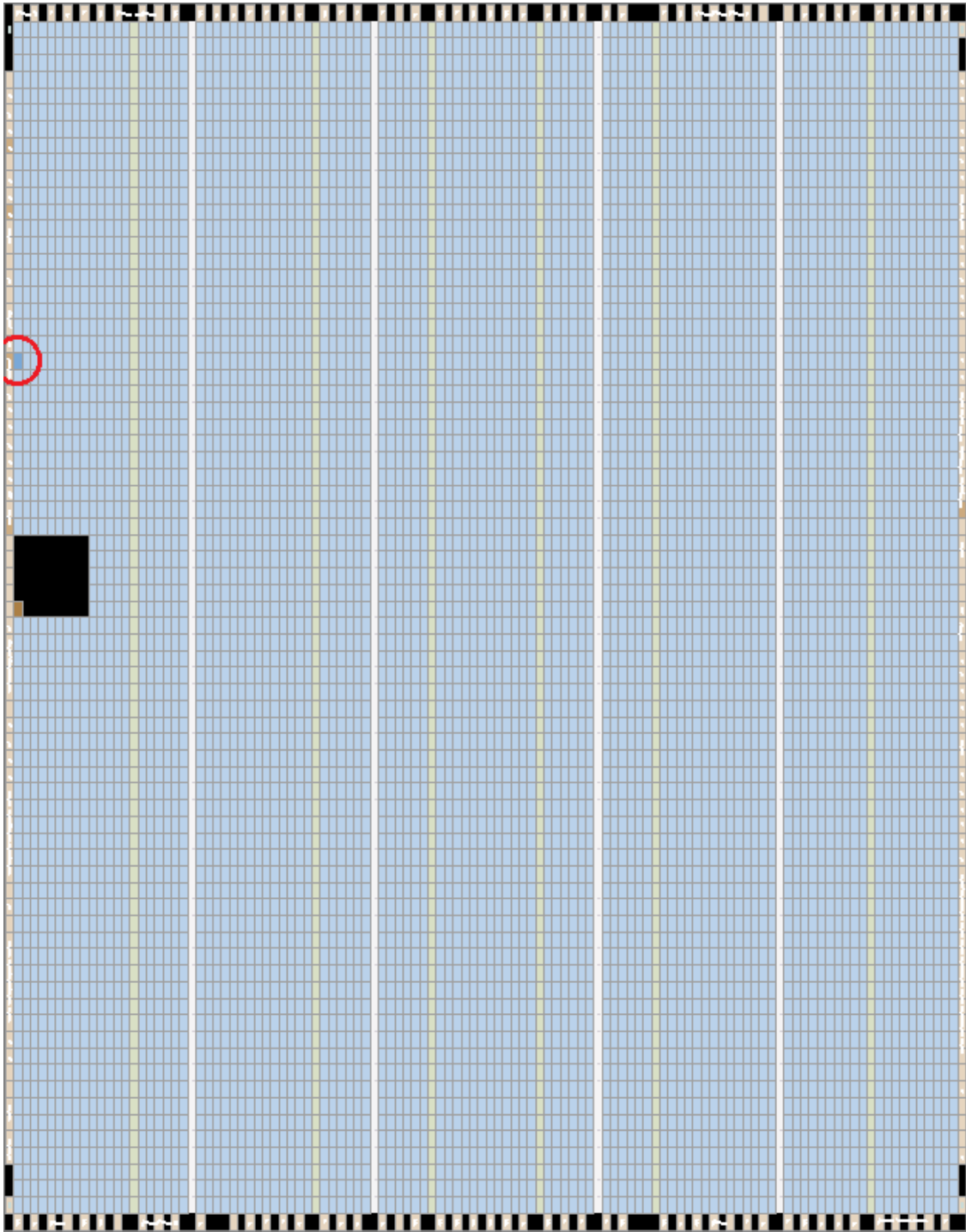


Figura 32: Flip-Flop D visto desde el *Chip Planner* (círculo rojo).

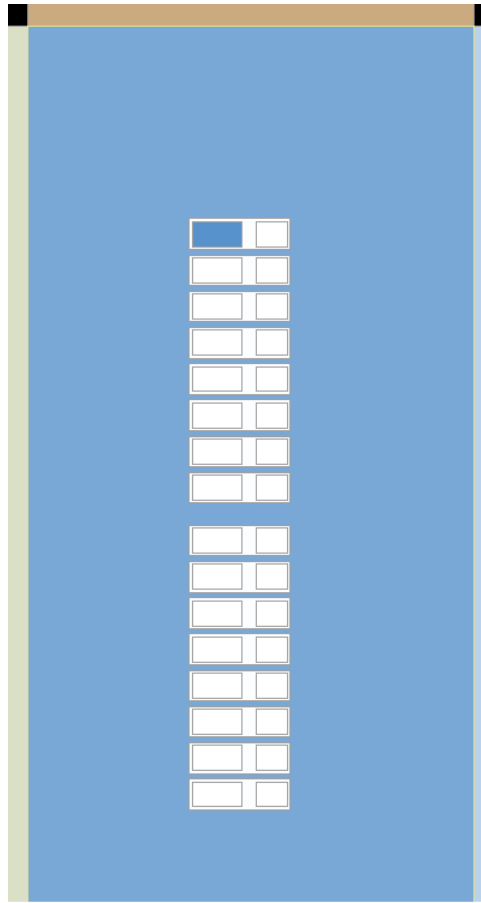


Figura 33: Latch D visto desde el *Chip Planner* (acercamiento).

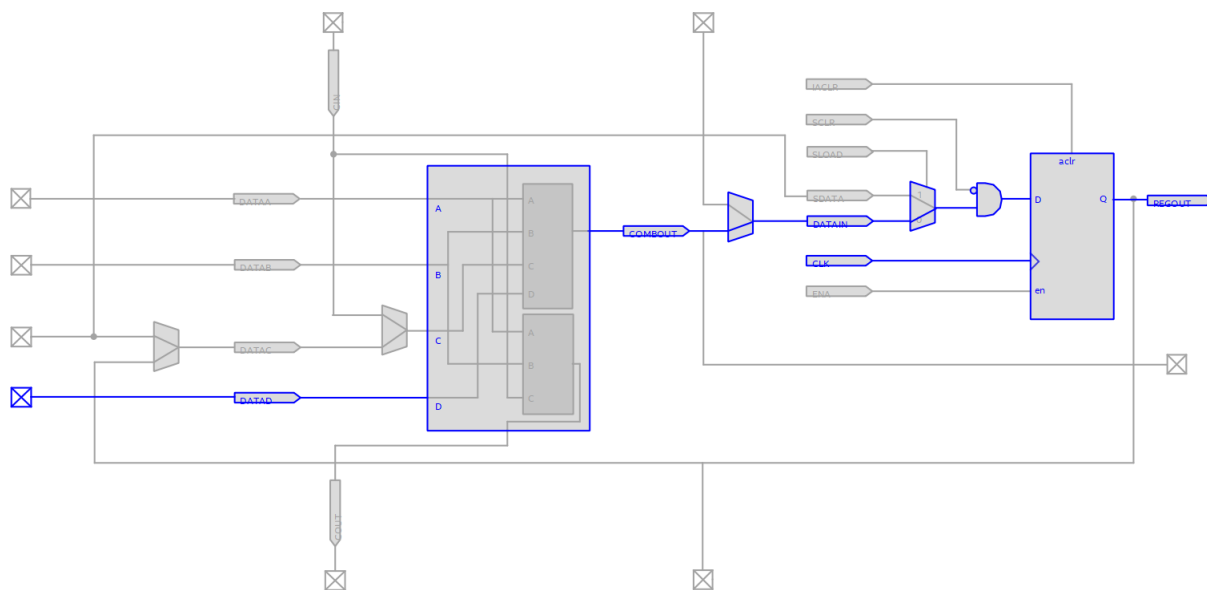


Figura 36: Flip-Flop D visto desde el *Chip Planner* (implementación en elemento lógico).

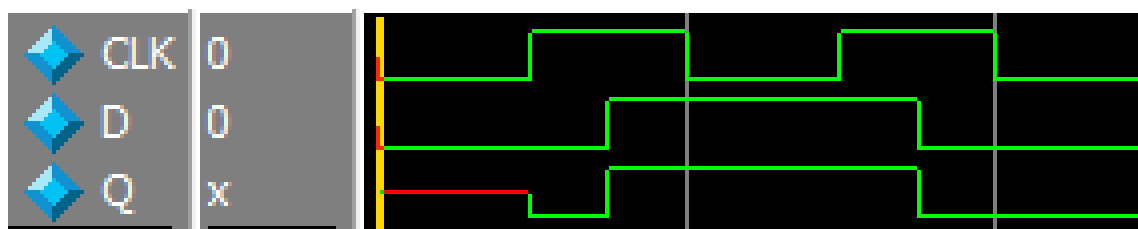


Figura 37: Simulación del latch D en el visor de formas de onda de ModelSim.

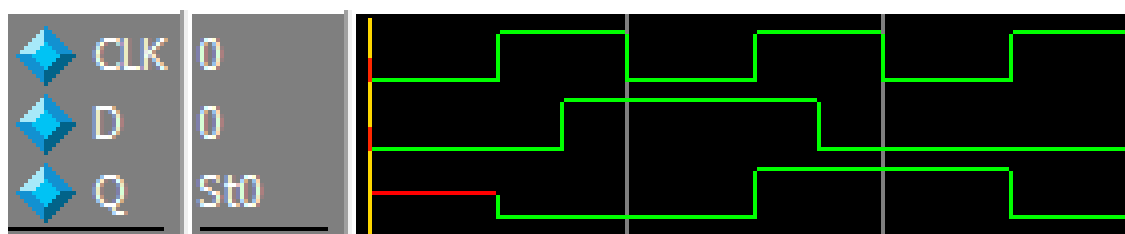


Figura 38: Simulación del flip-flop D en el visor de formas de onda de ModelSim.

6. Conclusiones

En conclusión, se implementaron los 4 circuitos en lenguaje Verilog de manera exitosa.

Para los latches RS y D, se implementaron de manera correcta, usando la directiva *keep* para observar que, al mantenerse las señales internas en el módulo, se utilizan más compuertas lógicas, en el visor RTL, y más celdas lógicas, en el *Technology Map Viewer*. Esto puede resultar en una desventaja, ya que al realizar la simulación con retardos (modo lento de 85°C), se observa que los circuitos con directiva *keep*, son ligeramente más lentos.

Para el flip-flop D, se describió el módulo usando la configuración maestro-esclavo con 2 latches D, pero se realizó el mismo análisis que con los latches RS y D, concluyendo en que, las instancias mantienen las señales internas, generando más compuertas y celdas lógicas, y el retardo sigue siendo mayor cuando se emplea a la directiva *keep*.

Para el latch D y el flip-flop D, se observó con el *Chip Planner* que no se implementan en los mismos recursos, ya que el latch se implementa en la *Look Up Table* de un elemento lógico, mientras que el flip-flop se implementa de forma directa en el elemento lógico.

Con el uso de simulaciones con retardos, se visualizó que los circuitos implementados tienen una frecuencia máxima de operación, puesto que en el peor de los casos, la señal de salida va retrasando su respuesta a la señal de entrada.

Finalmente, se asignaron los pines correspondientes en la placa de desarrollo para programar el dispositivo y realizar las pruebas pertinentes en hardware.

En los Anexos se pueden encontrar los códigos implementados junto con sus respectivos bancos de pruebas.

7. Anexos

7.1. Descripciones del hardware

```
1 module Latch_RS(CLK, R, S, Q);
2   input  CLK, R, S;
3   output Q;
4   wire   Ri, Si, Qa, Qb /*synthesis keep*/;
5
6   assign Ri = R & CLK;
7   assign Si = S & CLK;
8   assign Qa = ~(Ri | Qb);
9   assign Qb = ~(Si | Qa);
10  assign Q  = Qa;
11
12 endmodule
```

Programa 1: Descripción en Verilog del latch RS.

```
1 module Latch_D(CLK, D, Q);
2   input  CLK, D;
3   output Q;
4   wire   NAND1, NAND2, NAND3, NAND4 /*synthesis keep*/;
5
6   assign NAND1 = ~(~D & CLK);
7   assign NAND2 = ~(D & CLK);
8   assign NAND3 = ~(NAND1 & NAND4);
9   assign NAND4 = ~(NAND2 & NAND3);
10  assign Q  = NAND4;
11
12 endmodule
```

Programa 2: Descripción en Verilog del latch D.

```
1 module Latch_D(CLK, D, Q);
2   input  CLK, D;
3   output Q;
4   wire   NAND1, NAND2, NAND3, NAND4 /*synthesis keep*/;
5
6   assign NAND1 = ~(~D & CLK);
7   assign NAND2 = ~(D & CLK);
8   assign NAND3 = ~(NAND1 & NAND4);
9   assign NAND4 = ~(NAND2 & NAND3);
10  assign Q  = NAND4;
11
```

```

12 endmodule
13
14 module FlipFlop_D(CLK, D, Q);
15     input    CLK, D;
16     output   Q;
17     wire     L1 /*synthesis keep*/;
18
19     Latch_D U0(~CLK, D, L1);
20     Latch_D U1(CLK, L1, Q);
21
22 endmodule

```

Programa 3: Descripción en Verilog del flip-flop D, en configuración maestro-esclavo.

```

1 module L_D (
2     input    D,
3     input    CLK,
4     output   reg Q
5 );
6
7 always @ (D or CLK)
8 begin
9     if (CLK)
10    begin
11        Q <= D;
12    end
13 end
14
15 endmodule

```

Programa 4: Descripción en Verilog del latch D, por comportamiento.

```

1 module FF_D (
2     input    D,
3     input    CLK,
4     output   reg Q
5 );
6
7 always @ (posedge CLK)
8 begin
9     Q <= D;
10 end
11
12 endmodule

```

Programa 5: Descripción en Verilog del flip-flop D, por comportamiento.

7.2. Bancos de pruebas (*Test Benches*)

```
1 `timescale 1 ns/ 1 ps
2 module Latch_RS_vlg_tst();
3   reg CLK;
4   reg R;
5   reg S;
6   wire Q;
7
8   Latch_RS i1 (
9     .CLK(CLK),
10    .Q(Q),
11    .R(R),
12    .S(S)
13  );
14
15  initial
16  begin
17    CLK = 0; R = 0; S = 0;
18    #10; R = 0; S = 1;
19    #20; R = 0; S = 0;
20    #20; R = 1; S = 0;
21    #20; R = 0; S = 0;
22    $display("Running testbench at CIC");
23  end
24
25  always
26  begin
27    #10; CLK = ~CLK;
28  end
29
30 endmodule
```

Programa 6: Banco de prueba para el Programa 1.

```
1 `timescale 1 ns/ 1 ps
2 module Latch_D_vlg_tst();
3   reg CLK;
4   reg D;
5   wire Q;
6
7   Latch_D i1 (
8     .CLK(CLK),
9     .D(D),
10    .Q(Q)
11  );
```



```

12
13 initial
14 begin
15     CLK = 0; D = 0;
16     #20; D = 1;
17     #20; D = 0;
18     $display("Running testbench at CIC");
19 end
20
21 always
22 begin
23     #10; CLK = ~CLK;
24 end
25
26 endmodule

```

Programa 7: Banco de prueba para el Programa 2.

```

1 `timescale 1 ns/ 1 ps
2 module FlipFlop_D_vlg_tst();
3     reg CLK;
4     reg D;
5     wire Q;
6
7     FlipFlop_D i1 (
8         .CLK(CLK),
9         .D(D),
10        .Q(Q)
11    );
12
13    initial
14    begin
15        CLK = 0; D = 0;
16        #20; D = 1;
17        #20; D = 0;
18        $display("Running testbench at CIC");
19    end
20
21    always
22    begin
23        #10; CLK = ~CLK;
24    end
25
26 endmodule

```

Programa 8: Banco de prueba para el Programa 3.

```

1 'timescale 1 ns/ 1 ps
2 module L_D_vlg_tst();
3   reg  CLK;
4   reg  D;
5   wire Q;
6
7   L_D i1 (
8     .CLK(CLK),
9     .D(D),
10    .Q(Q)
11  );
12
13  initial
14  begin
15    CLK = 0; D = 0;
16    #15; D = 1;
17    #20; D = 0;
18    $display("Running testbench at CIC");
19  end
20
21  always
22  begin
23    #10; CLK = ~CLK;
24  end
25
26 endmodule

```

Programa 9: Banco de prueba para el Programa 4.

```

1 'timescale 1 ns/ 1 ps
2 module FF_D_vlg_tst();
3   reg  CLK;
4   reg  D;
5   wire Q;
6
7   FF_D i1 (
8     .CLK(CLK),
9     .D(D),
10    .Q(Q)
11  );
12
13  initial
14  begin
15    CLK = 0; D = 0;
16    #15; D = 1;
17    #20; D = 0;

```

```
18     $display("Running testbench at CIC");
19 end
20
21 always
22 begin
23     #10; CLK = ~CLK;
24 end
25
26 endmodule
```

Programa 10: Banco de prueba para el Programa 5.